

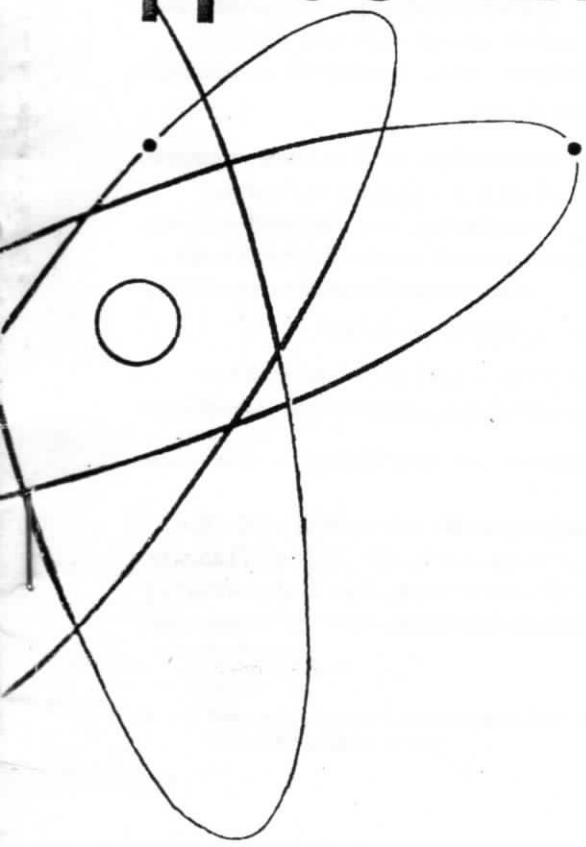
214



ISSN 0021-3470

ИЗВЕСТИЯ
ВЫСШИХ УЧЕБНЫХ
ЗАВЕДЕНИЙ

РАДИОЭЛЕКТРОНИКА



ТОМ 45

~~5-6~~
май-июнь

ИЗДАНИЕ
НАЦИОНАЛЬНОГО
ТЕХНИЧЕСКОГО
УНИВЕРСИТЕТА
УКРАИНЫ
«КИЕВСКИЙ
ПОЛИТЕХНИЧЕСКИЙ
ИНСТИТУТ»

2002

423

ТРИФОНОВ А. П., ЗАХАРОВ А. В.

ХАРАКТЕРИСТИКИ СОВМЕСТНОЙ ОЦЕНКИ ВРЕМЕНИ ПРИХОДА И ЧАСТОТЫ СЛУЧАЙНОГО РАДИОИМПУЛЬСА*

Найдены характеристики оценок максимального правдоподобия времени прихода и частоты флуктуирующего радиоимпульса с учетом аномальных ошибок. Границы применимости полученных выражений установлены с помощью статистического моделирования на ЭВМ.

В процессе функционирования радиоэлектронных систем локации, навигации и связи часто необходимо измерять время прихода (время задержки) и частоту (доплеровский сдвиг частоты) флуктуирующих импульсных сигналов, наблюдаемых на фоне помех [1, 2].

В [3] рассмотрена оценка максимального правдоподобия (ОМП) времени прихода λ_0 случайного радиоимпульса

$$s(t) = \xi(t)I[(t - \lambda_0) / \tau], \quad (1)$$

наблюдаемого на фоне аддитивного гауссовского белого шума.

Здесь $I(x) = 1$ при $|x| < 1/2$, $I(x) = 0$ при $|x| \geq 1/2$ — прямоугольная модулирующая функция, τ — длительность радиоимпульса, $\xi(t) = a(t)\cos[v_0 t + \varphi(t)]$ — узкополосный стационарный центрированный гауссовский случайный процесс со спектральной плотностью

$$G(\omega) = (\gamma/2)\{g[(v_0 - \omega)/\Omega] + g[(v_0 + \omega)/\Omega]\},$$

γ — интенсивность, v_0 и Ω — центральная частота и ширина полосы частот спектральной плотности, а функция $g(x) \geq 0$ описывает форму спектральной

плотности и нормирована так, что $\max g(x) = 1$, $\int_{-\infty}^{\infty} g^2(x) dx = 1$

В [4] исследована квазиправдоподобная оценка времени прихода импульса (1), но в [3, 4] предполагается, что центральная частота v_0 случайного радиоимпульса априори известна. В [5] выполнены синтез и анализ совместных оценок времени прихода и центральной частоты спектральной плотности

* Работа выполнена при поддержке CDRF, Минобразования РФ и РФФИ (проекты VZ-010-0, EOO-3,5-5 и 02-01-00057).

регулярного случайного импульса $s(t) = \xi(t)f[(t - \lambda_0)/\tau]$, где $f(x)$ — непрерывно дифференцируемая модулирующая функция. Однако характеристики оценок [5] получены в предположении, что моменты решающей статистики алгоритма оценки непрерывно дифференцируемы по времени прихода и частоте сигнала хотя бы дважды. Из [3, 4] следует, что производные моментов логарифма функционала отношения правдоподобия (ФОП) для радиоимпульса (1) имеют разрывы первого рода по времени прихода, поэтому результаты [5] нельзя использовать для анализа эффективности совместных ОМП времени прихода и частоты случайного радиоимпульса.

Рассмотрим пороговые (с учетом аномальных ошибок) характеристики совместных ОМП времени прихода и частоты радиоимпульса (1), наблюдаемого на фоне аддитивного гауссовского белого шума $n(t)$ с односторонней спектральной плотностью N_0 . Для получения ОМП по принятой реализации $x(t) = s(t) + n(t)$ смеси сигнала и шума необходимо формировать логарифм ФОП $L(\lambda, \nu)$ как функцию возможных значений λ и ν времени прихода и частоты сигнала (1) [2, 6]. Будем считать, что время прихода и частота случайного радиоимпульса принимают значения из априорных интервалов $\lambda_0 \in [\lambda_{\min}; \lambda_{\max}]$ и $\nu_0 \in [\nu_{\min}; \nu_{\max}]$. Тогда совместные ОМП времени прихода и частоты определяются как координаты (λ_m, ν_m) положения абсолютного (наибольшего) максимума логарифма ФОП $L(\lambda, \nu)$ на интервалах $\lambda \in [\lambda_{\min}; \lambda_{\max}]$ и $\nu \in [\nu_{\min}; \nu_{\max}]$ соответственно [2, 6].

Аналогично [3—5], будем полагать, что время корреляции узкополосного случайного процесса $\xi(t)$ значительно меньше длительности τ импульса (1), т. е. выполняются условия

$$\mu = \tau\Omega / 2\pi \gg 1, \nu_0 \gg \Omega. \quad (2)$$

Тогда логарифм ФОП с точностью до незначительного постоянного слагаемого можно представить в виде [3—5]

$$L(\lambda, \nu) = \int_{\lambda - \tau/2}^{\lambda + \tau/2} y^2(t, \nu) dt / N_0, \quad (3)$$

где $y(t, \nu) = \int_{-\infty}^{\infty} x(t') h(t - t', \nu) dt'$ — отклик фильтра с импульсной переходной функцией $h(t, \nu)$ на принимаемую реализацию $x(t)$, причем передаточная функция $H(\omega, \nu)$ этого фильтра удовлетворяет условию $|H(\omega, \nu)|^2 = H_0[(\nu - \omega)/\Omega] + H_0[(\nu + \omega)/\Omega]$, $H_0(x) = qg(x)/[1 + qg(x)]$, $q = \gamma / N_0$.

Найдем характеристики нормированных совместных ОМП $\eta_m = \lambda_m / \tau$ и $\kappa_m = \nu_m / \Omega$ времени прихода и частоты случайного радиоимпульса (1). Обо-

значим $\eta = \lambda / \tau$, $\eta_j = \lambda_j / \tau$, $\kappa = v / \Omega$, $\kappa_j = v_j / \Omega$, $j = 1, 2$. Логарифм ФОП (3) представим в виде суммы

$$L(\lambda, v) = S(\eta, \kappa) + N(\eta, \kappa) + B, \quad B = \mu q \int_{-\infty}^{\infty} \{g(x) / [1 + qg(x)]\} dx,$$

где $S(\eta, \kappa) = \langle L(\eta\tau, \kappa\Omega) \rangle - B$ — сигнальная, $N(\eta, \kappa) = L(\eta\tau, \kappa\Omega) - \langle L(\eta\tau, \kappa\Omega) \rangle$ — шумовая функции, а усреднение выполняется по реализациям $x(t)$ при фиксированных η_0 и κ_0 [6, 7]. При выполнении (2) для сигнальной функции получаем

$$S(\eta, \kappa) = S_0 C_f(\eta - \eta_0) \mathcal{C}_{f_0}(\kappa - \kappa_0), \quad S_0 = \mu q^2, \quad (4)$$

$$C_f(\eta) = \max\{0, 1 - |\eta|\}, \quad C_{f_0}(\kappa) = \int_{-\infty}^{\infty} \frac{g(x)g(x+\kappa)}{1+qg(x)} dx.$$

Шумовая функция $N(\eta, \kappa)$ является асимптотически (при $\mu \rightarrow \infty$) гауссовским центрированным случайным полем, поэтому, в силу (2), ограничимся рассмотрением ее корреляционной функции

$$\begin{aligned} K(\eta_1, \eta_2, \kappa_1, \kappa_2) &= \langle N(\eta_1, \kappa_1) N(\eta_2, \kappa_2) \rangle = \\ &= K_1 R_f(\eta_1, \eta_2, \eta_0) R_f(\kappa_1, \kappa_2, \kappa_0) + K_0 C_f(\eta_1 - \eta_2) \mathcal{C}_f(\kappa_1 - \kappa_2), \end{aligned} \quad (5)$$

$$K_0 = \mu q^2, \quad K_1 = \mu q^3, \quad C_f(\kappa) = \int_{-\infty}^{\infty} \frac{g(x)g(x-\kappa)}{[1+qg(x)][1+qg(x-\kappa)]} dx;$$

$$R_f(\kappa_1, \kappa_2, \kappa_0) = \int_{-\infty}^{\infty} \frac{g(x-\kappa_1)g(x-\kappa_2)g(x-\kappa_0)[2+qg(x-\kappa_0)]}{[1+qg(x-\kappa_1)][1+qg(x-\kappa_2)]} dx,$$

$$R_f(\eta_1, \eta_2, \eta_0) = \max\{0, 1 - \max(|\eta_1 - \eta_2|, |\eta_2 - \eta_0|, |\eta_1 - \eta_0|)\}$$

В процессе анализа все оценки целесообразно разделить на надежные и аномальные [6, 7]. Обозначим буквой Λ область возможных значений нормированных времени прихода и частоты сигнала, задаваемую условиями $\eta \in [\eta_{\min}; \eta_{\max}]$ и $\kappa \in [\kappa_{\min}; \kappa_{\max}]$ где $\eta_{\min} = \lambda_{\min} / \tau$, $\eta_{\max} = \lambda_{\max} / \tau$, $\kappa_{\min} = v_{\min} / \Omega$, $\kappa_{\max} = v_{\max} / \Omega$. Оценки η_m и κ_m являются надежными, если они находятся в сигнальной подобласти Λ_S области Λ , задаваемой условиями $\eta \in [\eta_0 - 1; \eta_0 + 1]$, $\kappa \in [\kappa_0 - \Delta; \kappa_0 + \Delta]$, в пределах которой сигнальная функция $S(\eta, \kappa)$ отлична от нуля. Здесь величину 2Δ можно интерпретировать как длительность сигнальной функции по переменной κ и определять из условия $C_{f_0}(\kappa) \leq \delta \ll 1$ при $|\kappa| > \Delta$. При $q \leq 1$ можно выбирать $\Delta = 1$. Например, при $q \ll 1$ и $g(x) = [1 + (\pi x / 2)^2]^{-1}$ получаем $C_{f_0}(\kappa) \leq 0,05$, если $|\kappa| > 1$. Если ОМП η_m и κ_m находятся в пределах шумовой подобласти Λ_N , являющейся дополнением по-

области Δ_S до области Λ , то оценки и ошибки оценивания называются аномальными [6, 7]. Отметим, что в пределах шумовой подобласти сигнальная функция приблизительно равна нулю, а шумовая функция является однородным центрированным случайным полем с корреляционной функцией $\langle N(\eta_1, \kappa_1)N(\eta_2, \kappa_2) \rangle = K_0 C_r(\eta_1 - \eta_2) C_f(\kappa_1 - \kappa_2)$.

Рассмотрим вначале надежные ОМП η_m и κ_m , являющиеся координатами η и κ положения абсолютного максимума логарифма ФОР $L(\eta, \kappa)$ (3) в пределах сигнальной подобласти Δ_S . Так как сигнальная функция $S(\eta, \kappa)$ (4) достигает абсолютного максимума при $\eta = \eta_0$, $\kappa = \kappa_0$, а реализации шумовой функции $N(\eta, \kappa)$ непрерывны с вероятностью 1, то отношение сигнал/шум (ОСШ) для принятого сигнала [3—7]

$$z^2 = \frac{S^2(\eta_0, \kappa_0)}{K(\eta_0, \eta_0, \kappa_0, \kappa_0)} = \mu q^2 \left[\int_{-\infty}^{\infty} \frac{g^2(x) dx}{1 + qg(x)} \right]^2. \quad (6)$$

Так как $q > 0$ то при $\mu \rightarrow \infty$ ОСШ $z^2 \rightarrow \infty$. Будем полагать, что кроме (2) выполняется условие

$$z^2 \gg 1, \quad (7)$$

обеспечивающее высокую апостериорную точность надежных оценок [6]. При выполнении (7) надежные ОМП η_m и κ_m расположены в малой окрестности точки (η_0, κ_0) , причем с ростом ОСШ размер этой окрестности уменьшается. Поэтому для расчета характеристик надежных ОМП η_m и κ_m при выполнении (2), (7) достаточно исследовать поведение моментов (4), (5) логарифма ФОР в малой окрестности точки (η_0, κ_0) .

При $\delta_S = \max(|\eta - \eta_0|, |\eta_i - \eta_0|, |\kappa - \kappa_0|, |\kappa_i - \kappa_0|) \rightarrow 0$, $i = 1, 2$ моменты (4), (5) функционала (3) допускают асимптотические представления:

$$S(\eta, \kappa) = S_r(\eta - \eta_0) + S_f(\kappa - \kappa_0) + o(\delta_S^2), \quad (8)$$

$$S_r(\eta) = S_0 C_{r0}(0) \max(0, 1 - 2|\eta|) / 2, \quad S_f(\kappa) = S_0 [C_{f0}(\kappa) - C_{f0}(0)] / 2,$$

$$K(\eta_1, \eta_2, \kappa_1, \kappa_2) = K_r(\eta_1, \eta_2) + K_f(\kappa_1, \kappa_2) + o(\delta_S^2), \quad (9)$$

$$K_r(\eta_1, \eta_2) = \sigma_S^2 \max \left[0, 1/2 - |\eta_1 - \eta_2| - \right.$$

$$\left. \begin{array}{l} g \min(|\eta_1 - \eta_0|, |\eta_2 - \eta_0|) \text{ при } (\eta_1 - \eta_0)(\eta_2 - \eta_0) \geq 0; \\ 0 \text{ при } (\eta_1 - \eta_0)(\eta_2 - \eta_0) < 0; \end{array} \right]$$

$$\sigma_S^2 = K(\eta_0, \eta_0, \kappa_0, \kappa_0) = \mu q^2 \cdot g = K_1 R_r(\kappa_0, \kappa_0, \kappa_0) / \sigma_S^2,$$

$$K_f(\kappa_1, \kappa_2) = K_1 [R_f(\kappa_1, \kappa_2, \kappa_0) - R_f(\kappa_0, \kappa_0, \kappa_0) / 2] +$$

$$+K_0[C_f(\kappa_1 - \kappa_2) - C_f(0)/2]$$

Обозначим $L_t(\eta)$, $L_f(\kappa)$ — статистически независимые гауссовские случайные процессы с математическими ожиданиями $S_f(\kappa - \kappa_0)$ (8) и корреляционными функциями $K_t(\eta_1, \eta_2)$, $K_f(\kappa_1, \kappa_2)$ (9) соответственно. Из (8), (9) следует, что первые два момента асимптотически гауссовского (при $\mu \rightarrow \infty$) случайного поля $L(\eta, \kappa, \Omega)$ (3) и гауссовского случайного поля $M(\eta, \kappa) = L_t(\eta) + L_f(\kappa)$ асимптотически совпадают в малой окрестности точки (η_0, κ_0) . Тогда при выполнении (2), (7) характеристики надежных ОМП η_m и κ_m приближенно совпадают с характеристиками положений абсолютных максимумов случайных процессов $L_t(\eta)$ и $L_f(\kappa)$ на интервалах $\eta \in [\eta_0 - \Delta; \eta_0 + \Delta]$ и $\kappa \in [\kappa_0 - \Delta; \kappa_0 + \Delta]$ соответственно.

Воспользовавшись локально-марковской аппроксимацией приращений случайного процесса $L_t(\eta)$ и решая уравнения Фоккера—Планка—Колмогорова с соответствующими начальными и граничными условиями [7], аналогично [3, 4] находим приближенное выражение для условной (при фиксированных η_0 и κ_0) маргинальной плотности вероятности $W_{t0}(\eta_m)$ надежной оценки η_m :

$$W_{t0}(\eta_m) = \frac{2z^2}{2-g} \left\{ 3 \exp\left(\frac{4z^2}{2-g} |\eta_m - \eta_0|\right) \left[1 - \Phi\left(3z \sqrt{\frac{|\eta_m - \eta_0|}{2-g}}\right) \right] + \Phi\left(z \sqrt{\frac{|\eta_m - \eta_0|}{2-g}}\right) - 1 \right\}, \quad (10)$$

где $\Phi(x) = \int_x^\infty \exp(-t^2/2) dt / \sqrt{2\pi}$ — интеграл вероятности.

Используя метод малого параметра [6], аналогично [5] для условной маргинальной плотности вероятности $W_{f0}(\kappa_m)$ надежной оценки κ_m получаем

$$W_{f0}(\kappa_m) = z \sqrt{\theta / 2\pi} \exp[-z^2 \theta (\kappa_m - \kappa_0)^2 / 2], \quad (11)$$

$$\theta = \frac{\int_{-\infty}^{\infty} \frac{[dg(x)/dx]^2 dx}{[1+qg(x)]^2} dx}{\left[\int_{-\infty}^{\infty} \frac{g^2(x) dx}{1+qg(x)} \right]^2}.$$

Точность выражений (10), (11) возрастает с увеличением μ и z^2 [6, 7]. В силу статистической независимости случайных процессов $L_t(\eta)$ и $L_f(\kappa)$, надежные ОМП η_m и κ_m приближенно (при выполнении (2), (7)) статистически независимы. Тогда условную совместную плотность вероятности надежных оценок η_m и κ_m можно приближенно представить в виде

$$W_{m0}(\eta_m, \kappa_m) = W_{i0}(\eta_m)W_{f0}(\kappa_m) \quad (12)$$

Из (10), (11) следует, что при выполнении (2), (7) совместные надежные ОМП η_m и κ_m являются несмещенными, а рассеяния оценок равны

$$V_{i0} = \langle (\eta_m - \eta_0)^2 \rangle = 13(2-g)^2 / 8z^4, \quad V_{f0} = \langle (\kappa_m - \kappa_0)^2 \rangle = 1/z^2\theta. \quad (13)$$

Следовательно, характеристики надежной ОМП η_m времени прихода асимптотически (с ростом ОСШ) совпадают с соответствующими характеристиками надежной ОМП времени прихода случайного радиоимпульса с априори известной частотой [3]. Штриховыми линиями на рис. 1 нанесены предельные (при $q \ll 1$) зависимости $V = V_{i0}(z)$ и $V = V_{f0}(z)$ рассеяний надежных ОМП времени прихода (кривая 1) и частоты (кривая 2) сигнала (1) при $g(x) = [1 + (\pi x / 2)^2]^{-1}$. Из рис. 1 видно, что с ростом ОСШ рассеяние надежной оценки времени прихода убывает существенно быстрее, чем рассеяние надежной оценки частоты.

Рассмотрим влияние аномальных ошибок на характеристики ОМП. Аномальные ошибки возможны, если размеры априорной области значений нормированных времени прихода η_0 и частоты κ_0 сигнала значительно больше размеров сигнальной подобласти Λ_S [6, 7], т. е.

$$m_t = \eta_{\max} - \eta_{\min} \gg 1, \quad m_f = \kappa_{\max} - \kappa_{\min} \gg 1 \quad (14)$$

Аномальные ошибки могут привести к существенному увеличению рассеяния оценки. Поэтому необходимо найти вероятности надежной оценки

$$P_0 = P[(\eta_m, \kappa_m) \in \Lambda_S]$$

или аномальной ошибки

$$P_a = P[(\eta_m, \kappa_m) \in \Lambda_N] = 1 - P_0.$$

Согласно определению [6, 7], $P_0 = P[L_S > L_N]$, где L_S и L_N — величины абсолютных максимумов логарифма ФОП (3) в пределах сигнальной и шумовой подобластей соответственно. В силу (14), случайные величины L_S и L_N приближенно статистически независимы [6, 7], поэтому

$$P_0 = \int_{-\infty}^{\infty} F_N(u)W_S(u)du, \quad (15)$$

где $F_N(u)$ и $W_S(u)$ — функция распределения и плотность вероятности случайных величин L_N / σ_N и L_S / σ_N соответственно, а $\sigma_N^2 = K_0 C_f(0)$ — дисперсия шумовой функции $N(\eta, \kappa)$ в пределах шумовой подобласти Λ_N .

Точные выражения для функций $F_N(u)$ и $W_S(u)$ неизвестны. Будем считать, что выполняются условия (2), (7), (14). Для расчета вероятности P_0 при

выполнении (7) достаточно использовать аппроксимацию функции $F_N(u)$, асимптотически точную при $u \rightarrow \infty$ [7]. При выполнении (2), (14) функция $F_N(u)$ аппроксимируется функцией распределения величины абсолютного максимума однородного центрированного гауссовского случайного поля $r_0(\eta, \kappa)$ с корреляционной функцией

$$\langle r_0(\eta_1, \kappa_1) r_0(\eta_2, \kappa_2) \rangle = C_r(\eta_1 - \eta_2) C_f(\kappa_1 - \kappa_2) / C_f(0)$$

в пределах области значений $(\eta, \kappa) \in \Lambda$.

Получим асимптотически точное (с ростом u) выражение для функции $F_N(u)$, используя асимптотическую пуассоновость потока A -выходов случайного поля $r_0(\eta, \kappa)$ за уровень $u \rightarrow \infty$ [8]. Согласно [8], A -выходом случайного поля $r_0(\eta, \kappa)$ за уровень u называется такое пересечение уровня реализацией поля в произвольной точке (η^*, κ^*) , что для некоторого $a > 0$ существует область Σ , задаваемая условиями $\eta \in [\eta^* - a/2, \eta^* + a/2]$, $\kappa \in [\kappa^* - a, \kappa^*]$ и $\eta \in [\eta^* - a/2, \eta^*]$, $\kappa = \kappa^*$, в пределах которой $r_0(\eta, \kappa) < u$. В силу пуассоновости потока A -выходов при $u \rightarrow \infty$

$$F_N(u) = \exp[-\Pi(u)], \quad (16)$$

где $\Pi(u)$ — среднее число A -выходов случайного поля $r_0(\eta, \kappa)$ за уровень u в пределах области значений $(\eta, \kappa) \in \Lambda_N$.

В [8] получено асимптотическое выражение для интенсивности потока A -выходов, откуда следует, что при выполнении (14) и $u \rightarrow \infty$

$$\Pi(u) = m_t \sigma_f u^2 \exp(-u^2/2) / 2\pi, \quad (17)$$

$$\sigma_f = m_f \sqrt{\frac{\partial^2 C_f(x) / \partial x^2 \Big|_{x=0}}{C_f(0)}} = m_f \sqrt{\frac{\int_{-\infty}^{\infty} [dg(x)/dx]^2 dx}{\int_{-\infty}^{\infty} [1+qg(x)]^2 dx}}.$$

При конечных значениях u аппроксимируем распределение $F_N(u)$ его предельным выражением (16), где $\Pi(u)$ определяется из (17). Так как функция $\Pi(u)$ (17) является невозрастающей функцией u только при $u > \sqrt{2}$, то аналогично [3—7] используем аппроксимацию

$$F_N(u) = \begin{cases} \exp\left[\frac{m_t \sigma_f}{2\pi} u^2 \exp\left(-\frac{u^2}{2}\right)\right] & \text{при } u \geq \sqrt{2}; \\ 0 & \text{при } u < \sqrt{2}. \end{cases} \quad (18)$$

Точность формулы (18) возрастает с увеличением m_t , u , m_t и $m_f(\sigma_f)$.

Найдем теперь выражение для функции $W_S(u)$. Учтем, что при выполнении (7) надежные ОМП η_m и κ_m расположены в малой окрестности точки

(η_0, κ_0). Поэтому для расчета плотности вероятности $W_S(u)$ достаточно исследовать поведение логарифма ФОП (3) в малой окрестности этой точки. Как мечалось выше, статистические характеристики логарифма ФОП в окрестности точки (η_0, κ_0) асимптотически совпадают с характеристиками гауссовского случайного поля $M(\eta, \kappa) = L_f(\eta) + L_f(\kappa)$. Тогда при выполнении (2), получаем $W_S(u) = \sigma \int_{-\infty}^{\infty} W_l(u\sigma - x) W_f(x) dx$, где $W_l(x)$ и $W_f(x)$ — плотности ве-

роятностей величин абсолютных максимумов случайных процессов $L_f(\eta)\sqrt{2}/\sigma_S$ и $L_f(\kappa)\sqrt{2}/\sigma_S$ при $\eta, \kappa \in \Lambda_S$, $\sigma = \sqrt{2}\sigma_N/\sigma_S = \sqrt{2C_f(0)}$. В пользувавшись, аналогично [3, 4], методом локально-марковской аппроксимации [7], при выполнении (2), (7) получаем выражение

$$W_l(x) = \frac{2\sqrt{2}}{2-g} z \exp\left[\frac{2z^2(3-g)}{(2-g)^2}\right] \left\{ \exp\left(-\frac{\sqrt{2}xz}{2-g}\right) \Phi\left(x - \frac{z}{\sqrt{2}} \frac{4-g}{2-g}\right) - \exp\left[\frac{3z^2}{(2-g)^2} + \frac{z}{2-g}(z - 2\sqrt{2}x)\right] \Phi\left(x - \frac{z}{\sqrt{2}} \frac{6-g}{2-g}\right) \right\}. \quad (1)$$

Аналогично [5] при выполнении (2), (7) находим

$$W_f(x) = \exp[-(x\sqrt{2} - z)^2 / 4] / \sqrt{2\pi}. \quad (2)$$

Точность формул (19), (20) возрастает с увеличением μ и z .

Таким образом, согласно (15) получаем

$$P_0 = \sigma \int_{\sqrt{2}}^{\infty} F_N(u) \left[\int_{-x}^x W_l(u\sigma - x) W_f(x) dx \right] du, \quad (21)$$

где функции $F_N(u)$, $W_l(x)$ и $W_f(x)$ определяются из (18)–(20).

Точность аппроксимации (21) возрастает с увеличением μ , z , m_l , m_f , (σ_f) . Сплошной линией на рис. 2 показана предельная (при $q \ll 1$) зависимость вероятности $P_a = 1 - P_0$ аномальной ошибки от ОСШ (6), рассчитанная по формуле (21) для случая совместных ОМП времени прихода и частоты радиопульса (1). Там же штриховой линией нанесена соответствующая зависимость для ОМП времени прихода случайного радиопульса с априори известной частотой [3]. Кривые на рис. 2 рассчитаны при $m_l = m_f = 20$ и $g(x) = [1 + (\pi x / 2)^2]^{-1}$. Из рис. 2 следует, что отсутствие априорной информации о частоте случайного радиопульса приводит к заметному увеличению вероятности аномальных ошибок ОМП его времени прихода.

Исследуем теперь распределения совместных ОМП времени прихода и частоты случайного радиопульса при наличии аномальных ошибок. Так как

надежные и аномальные решения об оценке являются несовместимыми событиями, то условную (при фиксированных η_0 и κ_0) совместную плотность вероятности $W_m(\eta_m, \kappa_m)$ нормированных оценок η_m и κ_m с учетом аномальных ошибок можно представить в виде

$$W_m(\eta_m, \kappa_m) = P_0 W_{m0}(\eta_m, \kappa_m) + (1 - P_0) W_{ma}(\eta_m, \kappa_m),$$

где $W_{m0}(\eta, \kappa)$ — совместная плотность вероятности надежных, а $W_{ma}(\eta, \kappa)$ — аномальных оценок. Если выполняются условия (7), (14), то распределения надежных и аномальных оценок можно считать непрерывными в пределах области Λ значений времени прихода и частоты [6, 7]. При этом для распределения аномальных оценок можно использовать аппроксимацию

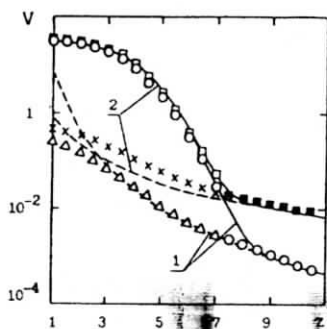


Рис. 1

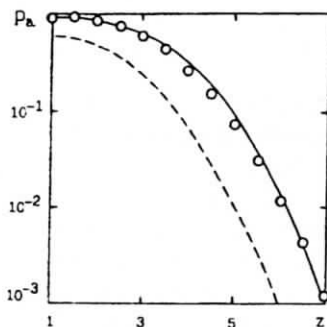


Рис. 2

$W_{ma}(\eta, \kappa) = 1/m_i m_f$ при $(\eta, \kappa) \in \Lambda$ и $W_{ma}(\eta, \kappa) = 0$ при $(\eta, \kappa) \notin \Lambda$ [6, 7], а для надежных оценок — аппроксимацию (12). Тогда условные маргинальные плотности вероятностей оценок η_m и κ_m равны

$$W_i(\eta_m) = P_0 W_{i0}(\eta_m) + (1 - P_0) / m_i$$

и

$$W_f(\kappa_m) = P_0 W_{f0}(\kappa_m) + (1 - P_0) / m_f$$

соответственно, где $W_{i0}(\eta_m)$ и $W_{f0}(\kappa_m)$ определяются из (10), (11). В результате для условных смещений и рассеяний ОМП η_m и κ_m при наличии аномальных ошибок получаем выражения

$$b_i = \langle \eta_m - \eta_0 \rangle = (1 - P_0)(\eta_a - \eta_0), \quad b_f = \langle \kappa_m - \kappa_0 \rangle = (1 - P_0)(\kappa_a - \kappa_0),$$

$$V_i = \langle (\eta_m - \eta_0)^2 \rangle = P_0 V_{i0} + (1 - P_0)[(\eta_a - \eta_0)^2 + m_i^2 / 12], \quad (22)$$

$$V_f = \langle (\kappa_m - \kappa_0)^2 \rangle = P_0 V_{f0} + (1 - P_0) [(\kappa_a - \kappa_0)^2 + m_f^2 / 12],$$

$$V_{f0} = \langle (\eta_m - \eta_0)(\kappa_m - \kappa_0) \rangle = (1 - P_0)(\eta_a - \eta_0)(\kappa_a - \kappa_0),$$

где V_{f0} , V_{t0} и P_0 определяются из (13), (21), $\eta_a = (\eta_{\max} + \eta_{\min}) / 2$, $\kappa_a = (\kappa_{\max} + \kappa_{\min}) / 2$. Из (22) следует, что при $\eta_0 = \eta_a$ и $\kappa_0 = \kappa_a$ ОМП η_m и κ_m являются несмещенными и некоррелированными. Сплошными линиями рис. 1 нанесены предельные (при $q \ll 1$) зависимости $V = V_t(z)$, $V = V_f(z)$ рассеяний (22) совместных ОМП времени прихода (кривая 1) и частоты (кривая 2) случайного радиоимпульса (1). Кривые на рис. 1 рассчитаны при $\eta_0 = \eta_a$, $\kappa_0 = \kappa_a$, $m_t = m_f = 20$, $g(x) = [1 + (\pi x / 2)^2]^{-1}$. Из рис. 1 видно, что зависимости рассеяний оценок от ОСШ z имеют пороговый характер — с уменьшением ОСШ рассеяния оценок быстро возрастают от значений рассеяний надежных оценок (штриховые линии) до предельных значений $m_t^2 / 12$ и $m_f^2 / 12$.

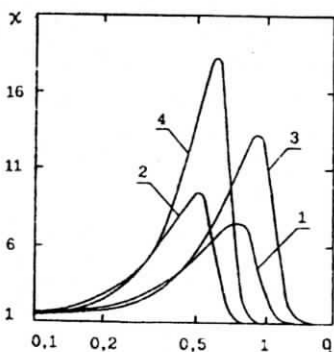


Рис. 3

вая 2 — $\mu = 200$, $m_t = m_f = 20$, кривая 3 — $\mu = 100$, $m_t = m_f = 50$, кривая 4 — $\mu = 200$, $m_t = m_f = 50$. Из рис. 3 видно, что в случаях надежной (большие ОСШ) и аномальной оценок (малые ОСШ) рассеяния ОМП времени прихода при априори известной и неизвестной частоте сигнала практически совпадают. Однако в пороговой области $z = 3 \dots 9$, когда возможны как надежные, так и аномальные оценки, проигрыш может быть значительным и увеличивается с ростом m_t и m_f .

С целью экспериментальной проверки эффективности совместных ОМП времени прихода и частоты случайного радиоимпульса (1) и установления границ применимости асимптотически точных формул для характеристик оценок выполнялось статистическое моделирование алгоритма ОМП

оценок (штриховые линии) до предельных значений $m_t^2 / 12$ и $m_f^2 / 12$ рассеяний аномальных оценок.

Выражения (22) позволяют оценить проигрыш в точности ОМП времени прихода сигнала (1) из-за незнания его частоты. Проигрыш будет характеризовать отношением χ рассеяния V_t (22) ОМП η_m к рассеянию соответствующей ОМП времени прихода сигнала (1) с априори известной частотой [3]. На рис. 3 приведены зависимости проигрыша χ от отношения q при $\eta_0 = \eta_a$, $\kappa_0 = \kappa_a$, $g(x) = [1 + (\pi x / 2)^2]^{-1}$. Кривая 1 со-

ответствует $\mu = 100$, $m_t = m_f = 20$, кр-

ЭВМ. В процессе моделирования с шагом $\Delta\eta = 0,01$ по переменной η и с шагом $\Delta\kappa = 0,1$ по переменной κ формировались отсчеты гауссовского случайного поля с математическим ожиданием (4) и корреляционной функцией (5), а оценки η_m и κ_m фиксировались как координаты наибольшего отсчета поля в пределах области значений $\eta \in [0; m_f]$, $\kappa \in [0; m_f]$. При этом среднеквадратическая погрешность ступенчатой аппроксимации непрерывных реализаций поля не превышала 14%. На основе обработки не менее 10^4 реализаций случайного поля вычислялись выборочные характеристики ОМП. Некоторые результаты моделирования при $\eta_0 = \eta_a$, $\kappa_0 = \kappa_a$, $m_f = m_f = 20$ и $g(x) = [1 + (\pi x / 2)^2]^{-1}$ показаны на рис. 1, 2, где приведены соответствующие теоретические зависимости. На рис. 1 треугольниками и крестиками нанесены предельные (при $q \ll 1$) экспериментальные значения рассеяний надежных ОМП η_m и κ_m соответственно, а кружочками и прямоугольниками — рассеяния ОМП η_m и κ_m с учетом аномальных ошибок. На рис. 2 кружочками нанесены экспериментальные значения вероятности P_0 аномальной ошибки.

Из результатов моделирования следует, что теоретические асимптотические выражения для характеристик ОМП удовлетворительно аппроксимируют экспериментальные данные уже при $z > 1,5$. 2 и $m_f = m_f = 7 \dots 10$.

БИБЛИОГРАФИЧЕСКИЙ СПИСОК

1. Сосулин Ю. Г. Теоретические основы радиолокации и радионавигации. — М.: Радио и связь, 1992. — 304 с.
2. Радиотехнические системы / Под ред. Ю. М. Казаринова. — М.: Высшая школа, 1990. — 496 с.
3. Трифонов А. П., Захаров А. В. Прием сигнала с неизвестной задержкой при наличии модулирующей помехи // Радиотехника. — 1986. — №4. — С. 36—41. (Изв. высш. учеб. заведений).
4. Трифонов А. П., Захаров А. В., Черноярков О. В. Пороговые характеристики квазиравнодоподобной оценки времени прихода случайного импульса // Радиотехника. — 1998. — №10. — С. 18—28. (Изв. высш. учеб. заведений).
5. Трифонов А. П., Парфенов В. И. Прием случайного импульса с неизвестными временем прихода и центральной частотой спектра мощности // Радиотехника и электроника. — 1998. — Т. 43. — №8. — С. 959—965.
6. Куликов Е. И., Трифонов А. П. Оценка параметров сигналов на фоне помех. — М.: Сов. радио, 1978. — 296 с.
7. Трифонов А. П., Шинаков Ю. С. Совместное различение сигналов и оценка их параметров на фоне помех. — М.: Радио и связь, 1986. — 264 с.
8. Питербарг В. И. Асимптотические методы в теории гауссовских процессов и полей. — М.: Изд-во МГУ, 1988. — 176 с.

Воронежский государственный ун-т.

Поступила в редакцию 20.04.2001.